

RMTC2019 稿件版式要求

请您在向本会议投出稿件前，对照本要求修订文稿。为直观起见，在本要求的最后设有范例。

英文来稿必须包括英文标题、英文作者名和单位名、英文摘要、英文关键词、中图分类号、正文、参考文献、中文标题、中文作者名和单位名、中文摘要、中文关键词等部分，并建议按此顺序书写。

1. 文章标题 英文标题一般在 10 个实词以内，最多不超过 15 个实词，避免使用非公知公用的缩略词、代号等。

2. 作者简介 作者真实姓名，作者单位全称、所在城市、邮编；如有多名作者，在每一作者姓名右上角依次标出与作者单位相对应的序号，如： CHUN Yu ¹, DONG Xiao-xue² (1. Department of Electronic Engineering, School of Information Science and Technology, Beijing Institute of Technology, Beijing 100081,China; 2. School of Mechatronic Engineering, Beijing Institute of Technology, Beijing 100081,China)。中国作者姓名用汉语拼音，姓前名后，姓氏全部字母大写，复姓应连写；名字首字母大写，双名中间加连字符。如： ZHANG Ying-hui。单位名的英译名应为完整的、正规的名称，一般不用缩写。于文章首页地脚处注明通讯作者职称、学位、E-mail 地址等。

3. 基金项目 文章如系某科研基金资助项目，应于篇首页地脚注明基金项目标准名称，并在括号内注明其项目编号。

4. 摘要 英文摘要一般为 150—180 个实词，中文摘要一般在 300 字以内，中英文摘要应基本一致。其内容应包括研究目的、方法、结果、结论等，禁用“本文”、“作者”、“This paper” 等作主语。详见“科技期刊文章摘要的写作要求”。

5. 关键词 每篇文章可选 3~8 个能反映文章主要内容的单词、词组或术语。英文关键词应与中文关键词相对应。

6. 中图分类号 请查《中国图书馆分类法》。

7. 正文 正文篇幅一般希望控制在成书 5 页（记空格，图表占位）以内。内容力求有创新，论证严谨，语句通顺，文字精炼。

8. 文中正体、斜体、黑体字符的用法：

(1) 斜体。变量名称用斜体单字母表示；下标若是由变量转化来的则用斜体；坐标轴（如 x , y ）和变量（如 i , j ）用斜体。

(2)正体。下标由文字转化来的说明性字符用正体；单位、词头用正体，如 nm, pF 等；
几个特殊常量用正体，如 e, i, π 等。

(3)黑体。矩阵、矢量名称用黑体表示。

9. 图形要求

图中所有线条、文字必须用黑色绘制；用线形或标识符区分；不得有背景；

图中线条须清晰、均匀，刻度线向内侧画，并且间隔应均匀；

图中坐标线粗 0.5 磅，曲线宽度为坐标线宽度的 3 倍；

10. 表格要求 表格采用三线表，表头中使用物理量符号/单位，如下例：

x/cm	I/mA	v/(m · s ⁻¹)	h/m	p/MPa
10	30	2.5	4	110

11. 参考文献 来稿引用他人观点与材料，须将参考文献按正文中出现的先后次序列于文后，文中须在引用处右上角加注“[序号]”。中文参考文献必须列出相应的英文，并在后面加注“(in Chinese)”。引文作者姓名均为姓前名后，最多标 3 名，余下用“et al.”代表。

著录格式为：(按不同析出物分类说明)

- [连续出版物] 主要作者. 题名[J]. 刊名, 年, 卷(期): 起止页码.
- [专著] 主要作者. 书名[M]. 出版地: 出版者, 出版年: 起止页码.
- [译著] 主要作者. 书名[M]. 译者. 出版地: 出版者, 出版年: 起止页码.
- [论文集] 主要作者. 题名[C]//编者. 论文集名. 出版地: 出版者, 出版年: 起止页码.
- [学位论文] 作者. 题名[D]. 所在城市: 保存单位, 年份.
- [科技报告] 主要作者. 题名, 报告代码及编号[R]. 地名: 责任单位, 年份.
- [古籍] 作者. 篇名, 书名[M]. 版本. 公元年历(出版朝代年号): 起止页码.
- [报纸] 作者名. 文章名[N]. 报纸名, 出版日期(版次).
- [电子文献] 作者. 题名[EB/OL]. 发表或更新日期/引用日期. <http://.....>
- [专利] 申请者. 专利名: 专利国名: 专利号[P]. 发布日期.
- [技术标准] 标准起草人. 技术标准代号, 技术标准名称[S]. 出版地: 出版者, 年份.

New imaging spectrometric method for rotary object

CHUN Yu¹, DONG Xiao-xue²

(1. Department of Electronic Engineering, School of Information Science
and Technology, Beijing Institute of Technology, Beijing 100081,
China; 2. School of Mechatronic Engineering, Beijing
Institute of Technology, Beijing 100081, China)

Abstract: A new technique for imaging spectrometer for rotary object based on computed-tomography is proposed. A discrete model of this imaging spectrometric system is established, which is accordant to actual measurements and convenient for computation. In computer simulations with this method, projections of the object are detected by CCD while the object is rotating, and the original spectral images are numerically reconstructed from them by using the algorithm of computed-tomography. Simulation results indicate that the principle of the method is correct and it performs well for both broadband and narrow-band spectral objects.

Key words: aerodynamic characteristics; stealth characteristics; numerical calculation; polarization

CLC number: TP374.2

Document code: A

Article ID: 1004-0579

引言（不编入章节号）

1 *****

1.1 *****

1.1.1 *****

2 *****

3 *****

$$\rho \frac{D\tilde{\nu}}{Dt} = G_{\nu} + \frac{1}{\sigma_{\tilde{\nu}}} \left\{ \frac{\partial}{\partial x_j} \left[(\mu + \rho \tilde{\nu}) \frac{\partial \tilde{\nu}}{\partial x_j} \right] + C_{b2} \rho \left(\frac{\partial \tilde{\nu}}{\partial x_j} \right)^2 \right\} - Y_{\nu} \quad (1)$$

Received 2011-12-20

Supported by the National Natural Science Foundation of China (60217289)

Author for correspondence, professor, Ph.D.

E-mail: abcd@sina.com

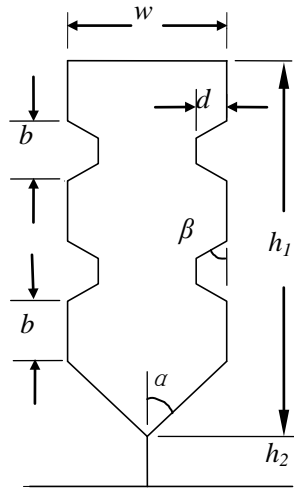


Fig. 1 Dual meander line monopole antenna

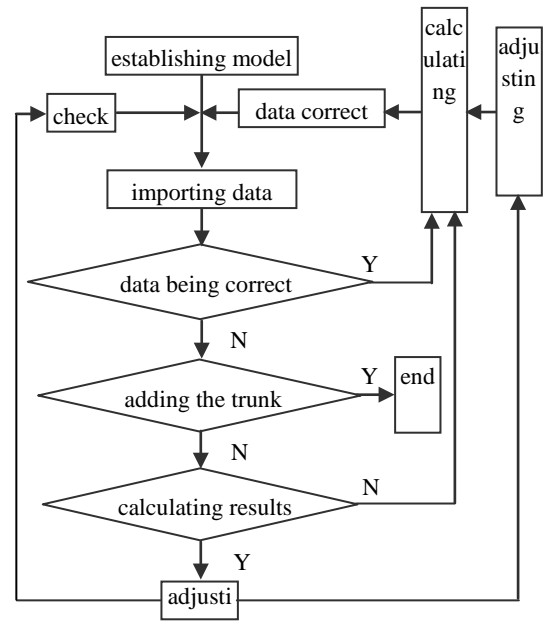


Fig.2 Flow chart of simulation for standing start

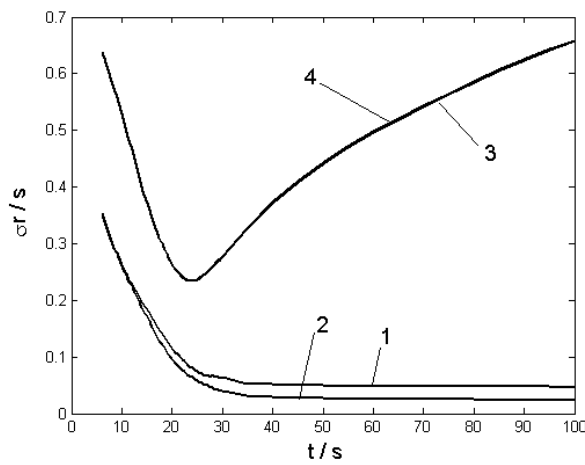


Fig.3 Regression residual error vs. time

Tab.1 Resonant parameters for different n

n	f_0/MHz	R/Ω	V_{SWR}	$B_{\text{W}}/\%$	L/cm
line	955	36.4	1.36	15.4	7.0
0	804	30.7	1.56	22.0	7.0
1	750	27.8	1.73	17.3	8.6
2	706	23.6	2.0	12.7	10.2
3	670	21.6	2.17	9.4	11.8
4	642	20.1	2.37	6.38	13.4

References:

- [1] Schölkopf B, Burges C J C, Smola A J. Advances in kernel methods – support vector learning [M]. Cambridge,MA : MIT Press, 1999.
- [2] Hearst M A, Schölkopf B, Dumais S, et al. Trends and controversies – support vector machines [J]. IEEE Intelligent Systems, 1998,13(4):18-28.
- [3] Eric C. Hacker's attack analyze and defense[M]. Su Lei, transl. Beijing: Publishing House of Electronics Industry,2002.
- [4] Burges C J C. Geometry and invariance in kernel based methods[C]/Burges C, Smola A. Advance in Kernel Methods—Support Vector Learning. Cambridge, MA : MIT Press,1999.
- [5] Jia Yubin. A study on micro quartz angular rate sensor[D]. Beijing: Department of Optical Engineering, Beijing Institute of Technology,1999.
- [6] Chang C C, Lin C J. LIBSVM: a library for support vector machines [EB/OL]. (2001-06-19)/[2002-03-10]. <http://www.csie.ntu.edu.tw/cjlin/libsvm/>.
- [7] Swanson R S, Musa S. The estimation of obstacle and terrain clobber probabilities, AIAA 75-1118[R]. Cambridge: University of Cambridge Press, 1975.
- [8] White S A. Tracking filter and quadrature-phase reference generator:US[P]. 1996-01-13.
- [9] GJB 736.8-90, Method of initiating explosive device test, accelerated life test, method of the test at 71°C[S].

旋转物体成像光谱新方法

春 雨¹, 冬晓雪²

(1. 北京理工大学科学技术学院, 北京 100081;
2. 中国科学院工程热物理研究所, 北京 100080)

摘要: 提出一种基于计算机层析技术并适用于旋转物体的成像光谱新技术。建立了 CT 成像光谱仪系统的离散模型, 使之符合实际测量及便于计算机计算。使用该方法进行了计算机仿真, 当仿真图像旋转时, CCD 探测到各个角度方向的投影数据, 然后利用 CT 算法进行光谱图像的重建。结果表明, 该方法原理正确, 无论对于具有宽带还是窄带光谱的物体, 都能够获得较好的光谱图像重建效果。

关键词: 气动特性; 隐身特性; 数值计算; 极化